

Dinámica no lineal aplicada a un láser

Mode-mode competition and unstable behavior in a homogeneously broadened ring laser, L. M. Narducci, J.R. Tredicce, L. A. Lugiato, N. B. Abraham and D. K. Bandy.

Leila Prelat

26 de agosto 2020

Índice

Introducción

- Teoría básica de un láser

- Análisis de estabilidad lineal

Ecuaciones de Maxwell-Bloch

- Solución estacionaria

- Gráficos de estados estacionarios

Análisis de estabilidad lineal

- Cambio de variables

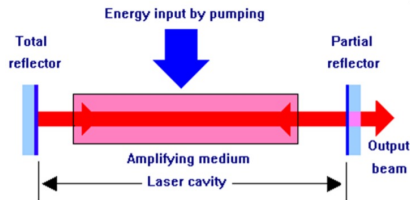
- Descomposición modal \rightarrow ecuaciones para amplitudes

- Linealización + Ansatz \rightarrow sistema matricial

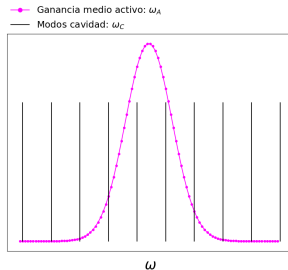
- Gráficos

Conclusiones

Cavidad de un láser



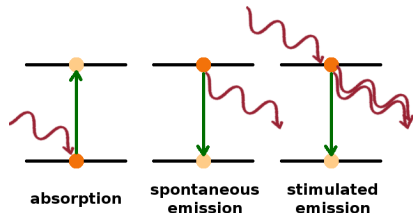
- Bombeo óptico
- Medio activo: aumentar la intensidad del láser



- ω_C : modos permitidos de la cavidad ($2\pi cn/\mathcal{L}$)
- ω_A : línea atómica del medio activo → amplificación

Sistema de 2 niveles: Transiciones atómicas

- Absorción : $1 \rightarrow 2$
- Emisión espontánea : $2 \rightarrow 1$
- Emisión estimulada : $2 \rightarrow 1$



Con la emisión de fotones se aumenta la intensidad del láser

Sistema de ecuaciones

$\gamma_{||}$ tasa inversión de población

k pérdidas de fotones

g coef. de prop. asociado a emisión estimulada y absorción

$$\bullet \frac{dI}{dt} = -kI + gIN_2 - gIN_1$$

$$\bullet \frac{dN_1}{dt} = \gamma_{||} N_{o1} - gIN_1 + gIN_2 - \gamma_{||} N_1$$

$$\bullet \frac{dN_2}{dt} = \underbrace{\gamma_{||} N_{o2}}_{\text{bombeo}} + \underbrace{gIN_1}_{\text{absorción}} - \underbrace{gIN_2}_{\text{emisión estimulada}} - \underbrace{\gamma_{||} N_2}_{\text{emisión espontánea}}$$

Simplificar ecuaciones

1. Cambio de variable: $N = N_2 - N_1$

$$\bullet \frac{dN}{dt} = \gamma_{\parallel} N_o - 2gIN - \gamma_{\parallel} N \quad \bullet \frac{dI}{dt} = -kI + gIN = I(-k + gN)$$

2. Adimensionalizar: $\tilde{t} = \gamma_{\parallel} t, \tilde{k} = k/\gamma_{\parallel}, \tilde{g} = gN_o/\gamma_{\parallel}$

3. Normalizar: $\tilde{N} = N/N_o, \tilde{I} = I/N_o, A = \tilde{g}/\tilde{k}$

Simplificar ecuaciones

1. Cambio de variable: $N = N_2 - N_1$

2. Adimensionalizar: $\tilde{t} = \gamma_{\parallel} t, \tilde{k} = k/\gamma_{\parallel}, \tilde{g} = gN_o/\gamma_{\parallel}$

$$\bullet \frac{dN}{d\tilde{t}} = N_o - 2\frac{\tilde{g}}{N_o}IN - N \quad \bullet \frac{dI}{d\tilde{t}} = I\left(-\tilde{k} + \frac{\tilde{g}}{N_o}N\right)$$

3. Normalizar: $\tilde{N} = N/N_o, \tilde{I} = I/N_o, A = \tilde{g}/\tilde{k}$

$$\boxed{\frac{d\tilde{N}}{d\tilde{t}} = 1 - 2\tilde{g}\tilde{I}\tilde{N} - \tilde{N} \quad \frac{d\tilde{I}}{d\tilde{t}} = \tilde{I}\tilde{g}(-1/A + \tilde{N})}$$

Análisis de estabilidad lineal

Puntos fijos:

$$\tilde{N}_{pf}^{(1)} = 1 \quad \tilde{I}_{pf}^{(1)} = 0$$

$$\tilde{N}_{pf}^{(2)} = 1/A \quad \tilde{I}_{pf}^{(2)} = \frac{1}{2\tilde{g}}(A - 1)$$

Jacobiano del sistema:

$$DF = \begin{bmatrix} \frac{\partial \dot{\tilde{N}}}{\partial \tilde{N}} & \frac{\partial \dot{\tilde{N}}}{\partial \tilde{I}} \\ \frac{\partial \dot{\tilde{I}}}{\partial \tilde{N}} & \frac{\partial \dot{\tilde{I}}}{\partial \tilde{I}} \end{bmatrix} = \begin{bmatrix} -2\tilde{g}\tilde{I} - 1 & -2\tilde{g}\tilde{N} \\ \tilde{g}\tilde{I} & \tilde{g}(-1/A + \tilde{N}) \end{bmatrix}$$

Análisis de estabilidad lineal: Estabilidad de puntos fijos

- $\lambda_1^{(1)} = -1$

$$\Rightarrow \boxed{\vec{x}_{PF}^{(1)} \text{ estable si } A < 1}$$

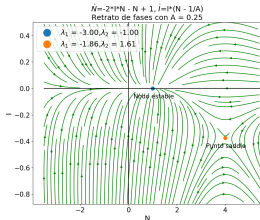
- $\lambda_2^{(1)} = \tilde{g}(1 - 1/A)$

- $\lambda_1^{(2)} = -\frac{A}{2} + \sqrt{\left(\frac{A}{2}\right)^2 - \tilde{g}(1 - 1/A)}$

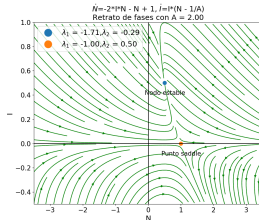
$$\Rightarrow \boxed{\vec{x}_{PF}^{(2)} \text{ estable si } A > 1}$$

- $\lambda_2^{(2)} = -\frac{A}{2} - \sqrt{\left(\frac{A}{2}\right)^2 - \tilde{g}(1 - 1/A)}$

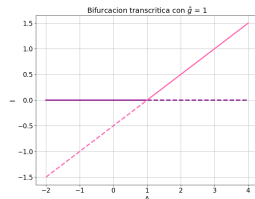
Bifurcación transcritical + diagramas de flujos



(a) $A = 0.25$



(b) $A = 2$



(c) Diagrama de bif.

Transcritical:

Cambio en la **estabilidad** de los puntos fijos al variar el parámetro

Formalismo de Maxwell-Bloch

Aproximación *slowly varying complex amplitude* para el campo eléctrico, se desprecian los campos transversales y $\sigma = 0$

$$E(z, t) = \mathcal{E}(z, t)e^{i(kz - \omega t)} + \text{c.c}$$

$$\mathcal{F}(z, t) \equiv \mu \mathcal{E}(z, t) / [2\hbar(\gamma_{\perp} \gamma_{\parallel})^{1/2}]$$

$\mathcal{P}(z, t) \rightarrow$ Polarización compleja por átomo

$\mathcal{D}(z, t) \rightarrow$ Diferencia de prob. entre el excitado y el fundamental

γ_{\perp} tasa de polarización

γ_{\parallel} tasa de inversión de población

\mathcal{L} longitud de la cavidad

L longitud del medio activo

Formalismo de Maxwell-Bloch

Las ecuaciones de Maxwell-Bloch son:

$$\bullet \frac{\partial \mathcal{F}}{\partial z} + \frac{1}{c} \frac{\partial \mathcal{F}}{\partial t} = -\alpha \mathcal{P} \quad \alpha : \text{ganancia/long.} \rightarrow \boxed{\alpha L}$$

$$\bullet \frac{\partial \mathcal{P}}{\partial t} = \gamma_{\perp} [\mathcal{F} \mathcal{D} - (1 + \tilde{\delta}_{AC}) \mathcal{P}] \quad \boxed{\tilde{\delta}_{AC} = (\omega_A - \omega_C)/\gamma_{\perp}}$$

$$\bullet \frac{\partial \mathcal{D}}{\partial t} = -\gamma_{\parallel} \left[\frac{1}{2} (\mathcal{F}^* \mathcal{P} + \mathcal{F} \mathcal{P}^*) + \mathcal{D} + 1 \right]$$

$$\underline{\text{CC}} : \mathcal{F}(z=0, t) = R \mathcal{F}(z=L, t - (\mathcal{L} - L)/c)$$

Solución estacionaria + coordenadas polares

$$\mathcal{F}(z, t) = \mathcal{F}(z)_{st} e^{-i\delta\omega t}$$

$$\mathcal{P}(z, t) = \mathcal{P}(z)_{st} e^{-i\delta\omega t}$$

$$\mathcal{D}(z, t) = \mathcal{D}(z)_{st}$$

$$\mathcal{F}_{st}(z) = \rho(z) e^{i\theta(z)} \Rightarrow \frac{d\mathcal{F}_{st}}{dz} - \frac{i\delta\omega}{c} \mathcal{F}_{st} = \alpha \mathcal{F}_{st}(z) \frac{1 - i\tilde{\Delta}}{1 + \tilde{\Delta}^2 + |\mathcal{F}_{st}(z)|^2}$$

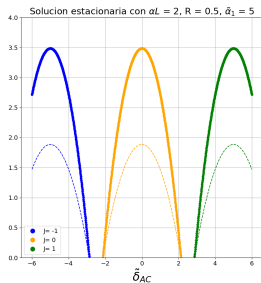
$$\text{CC de } \theta \Rightarrow 2\pi j$$

$$\tilde{\Delta}_j = \tilde{\delta}_{AC} - \delta\omega_j / \gamma_{\perp} \quad \frac{\delta\omega_j}{\gamma_{\perp}} = \frac{\tilde{k}\tilde{\delta}_{AC} + j\tilde{\alpha}_1}{1 + \tilde{k}} \quad \boxed{\tilde{\alpha}_1 = \frac{2\pi c}{\mathcal{L}\gamma_{\perp}}} \quad \tilde{k} = \frac{c|\ln R|}{\mathcal{L}\gamma_{\perp}}$$

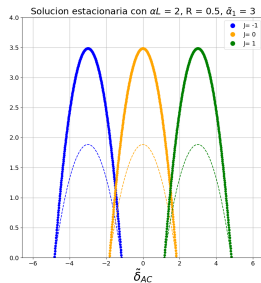
Estados estacionarios

$$\rho_j^2(L) = \frac{2}{1 - R^2} [\alpha L - (1 + \tilde{\Delta}_j^2) |\ln(R)|]$$

$$|\mathcal{F}_{st}^{(j)}|^2 \xrightarrow[\alpha L \rightarrow 0]{R \rightarrow 1^-} \left[2C - (1 + \tilde{\Delta}_j^2) \right] \quad 2C \equiv \frac{\alpha L}{|\ln R|} < \infty$$



(a) Con $\tilde{\alpha}_1 = 5$



(b) Con $\tilde{\alpha}_1 = 3$

Cambio de variables: simplificar la condición de contorno

$$z' = z$$

$$t' = t + \frac{\mathcal{L} - L}{c} \frac{z}{L}$$

$$\implies \underline{\text{CC}} : F(z = 0, t') = F(z = L, t')$$

Nuevos campos: $F(z', t')$, $P(z', t')$, $D(z', t')$ con sus nuevas ecuaciones

$$k_n = \frac{2\pi n}{L} \quad \boxed{\tilde{\alpha}_n = n\tilde{\alpha}_1} \quad \delta\Omega = \delta\omega_j - j\alpha_1$$

Descomposición modal de los nuevos campos

$$F(z', t') = e^{-i\delta\Omega t'} \sum_{n=-\infty}^{\infty} e^{ik_n z'} e^{-i\alpha_n t'} f_n(t')$$

$$P(z', t') = e^{-i\delta\Omega t'} \sum_{n=-\infty}^{\infty} e^{ik_n z'} e^{-i\alpha_n t'} p_n(t')$$

$$D(z', t') = \sum_{n=-\infty}^{\infty} e^{ik_n z'} e^{-i\alpha_n t'} d_n(t')$$

$$F^*(z', t') = e^{i\delta\Omega t'} \sum_{n=-\infty}^{\infty} e^{-ik_n z'} e^{i\alpha_n t'} f_n^*(t')$$

$$P^*(z', t') = e^{i\delta\Omega t'} \sum_{n=-\infty}^{\infty} e^{-ik_n z'} e^{i\alpha_n t'} p_n^*(t')$$

→ ecuaciones para las amplitudes modales

Linealización alrededor de estado estacionario + Ansatz

$$\chi_n = \chi_n^{(j)} \delta_{n,j} + \delta \chi_n$$

$$d_n = d_n^{(j)} \delta_{n,0} + \delta d_n$$

$$\begin{bmatrix} \delta f_{j+n}(t') \\ \delta f_{j-n}^*(t') \\ \delta p_{j+n}(t') \\ \delta p_{j-n}^*(t') \\ \delta d_n(t') \end{bmatrix} = e^{\lambda t'} \begin{bmatrix} \delta f_{j+n}(0) \\ \delta f_{j-n}^*(0) \\ \delta p_{j+n}(0) \\ \delta p_{j-n}^*(0) \\ \delta d_n(0) \end{bmatrix} \rightarrow \begin{bmatrix} \dot{\delta f}_{j+n} \\ \dot{\delta f}_{j-n}^* \\ \dot{\delta p}_{j+n} \\ \dot{\delta p}_{j-n}^* \\ \dot{\delta d}_n \end{bmatrix} = \lambda e^{\lambda t} \begin{bmatrix} \delta f_{j+n}(0) \\ \delta f_{j-n}^*(0) \\ \delta p_{j+n}(0) \\ \delta p_{j-n}^*(0) \\ \delta d_n(0) \end{bmatrix} =$$

$$= \lambda \begin{bmatrix} \delta f_{j+n}(t') \\ \delta f_{j-n}^*(t') \\ \delta p_{j+n}(t') \\ \delta p_{j-n}^*(t') \\ \delta d_n(t') \end{bmatrix} = A \begin{bmatrix} \delta f_{j+n}(t') \\ \delta f_{j-n}^*(t') \\ \delta p_{j+n}(t') \\ \delta p_{j-n}^*(t') \\ \delta d_n(t') \end{bmatrix}$$

Sistema matricial adimensionalizado

$$\tilde{A} = \frac{1}{\gamma_{\perp}} \begin{bmatrix} i\delta\Omega_j - \kappa & 0 & -\kappa 2C & 0 & 0 \\ 0 & -i\delta\Omega_j - \kappa & 0 & -\kappa 2C & 0 \\ \gamma_{\perp} d_0^{(j)} & 0 & -\gamma_{\perp} \tilde{\Delta}_{j,n}^+ & 0 & \gamma_{\perp} f_j^{(j)} \\ 0 & \gamma_{\perp} d_0^{(j)} & 0 & -\gamma_{\perp} \tilde{\Delta}_{j,n}^- & \gamma_{\perp} (f_j^{(j)})^* \\ -\frac{\gamma_{\parallel}}{2} (p_j^{(j)})^* & -\frac{\gamma_{\parallel}}{2} p_j^{(j)} & -\frac{\gamma_{\parallel}}{2} (f_j^{(j)})^* & -\frac{\gamma_{\parallel}}{2} f_j^{(j)} & i\tilde{\alpha}_n - \gamma_{\parallel} \end{bmatrix}$$

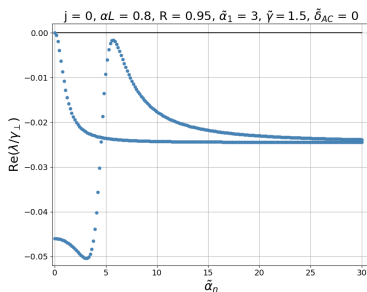
$$\tilde{\Delta}_{j,n}^+ = [1 + i(\tilde{\Delta}_j - \tilde{\alpha}_n)]$$

$$\tilde{\Delta}_{j,n}^- = [1 - i(\tilde{\Delta}_j + \tilde{\alpha}_n)]$$

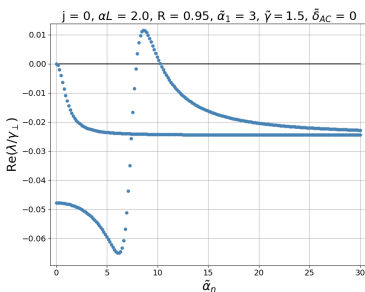
Análisis de estabilidad lineal con $\tilde{\delta}_{AC} = 0$

Estable sii $\text{Re}(\lambda_i) < 0 \forall i, n$

Inestabilidad dada por λ amplitud



(a) Con $\alpha L = 0.8$

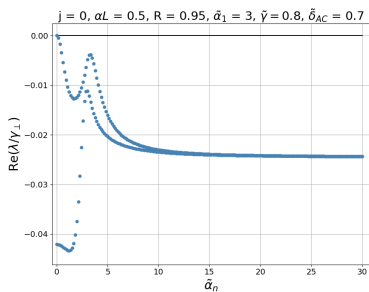


(b) Con $\alpha L = 2$

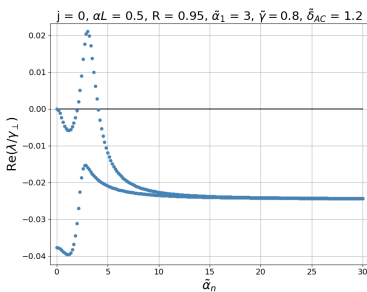
Análisis de estabilidad lineal con $\tilde{\delta}_{AC} \neq 0$

Si aumento $\tilde{\delta}_{AC}$ requiero menor ganancia para inestabilidad

Inestabilidad dada por λ fase



(a) Con $\tilde{\delta}_{AC} = 0.7$

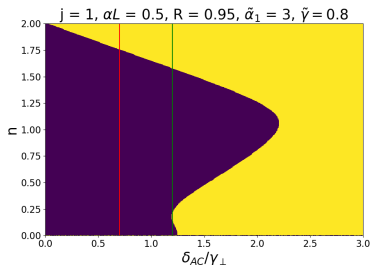


(b) Con $\tilde{\delta}_{AC} = 1.2$

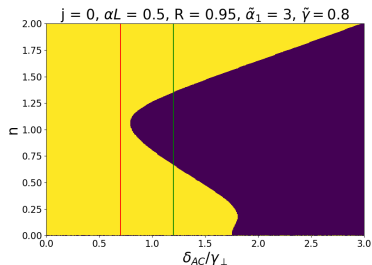
Análisis de estabilidad lineal

amarillo $\text{Re}(\lambda_i) < 0 \forall i$

violeta $\text{Re}(\lambda_i) > 0$



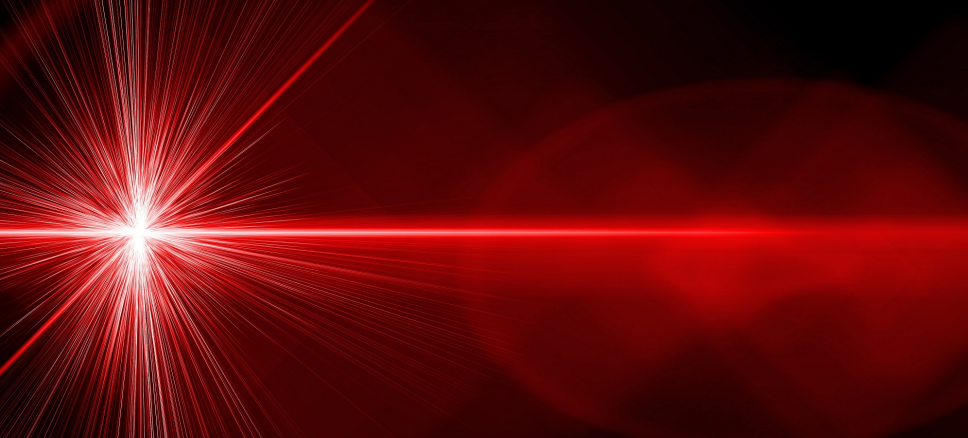
(a) $j = 1$



(b) $j = 0$

Conclusiones

- Se pudo modelar la física de un láser como un balance de poblaciones y con el formalismo de Maxwell-Bloch
- Se calculó la matriz adimensional A de 5×5 y sus autovalores
- Se lograron reproducir los gráficos de la segunda y tercera secciones del paper
- Se observó el comportamiento esperado de $\tilde{\delta}_{AC}$ y $\tilde{\alpha}_1$
- Se graficaron mapas de color mostrando las zonas de estabilidad y de inestabilidad



Muchas gracias!!!

Sistema de ecuaciones

- $\frac{dl}{dt} = -kl + g/N_2 - g/N_1$
- $\frac{dN_1}{dt} = -g/N_1 + g/N_2 + \gamma_{\parallel} N_2 + R_1$
- $\frac{dN_2}{dt} = g/N_1 - g/N_2 - \gamma_{\parallel} N_2 + R_2$

$R_2 \equiv \gamma_{\parallel} N_{o2}$ y $R_1 \equiv \gamma_{\parallel} (N_{o1} - N_T)$ con $N_T \equiv N_1 + N_2$.

- $\frac{dN_2}{dt} = g/N_1 - g/N_2 - \gamma_{\parallel} N_2 + \gamma_{\parallel} N_{o2}$
- $\frac{dN_1}{dt} = -g/N_1 + g/N_2 - \gamma_{\parallel} N_1 + \gamma_{\parallel} N_{o1}$

Sistema de ecuaciones

Sea $N_T \equiv N_1 + N_2$ y $N_{oT} \equiv N_{o1} + N_{o2}$:

$$\begin{aligned}\frac{dN_T}{dt} &= \gamma_{\parallel}(N_{oT} - N_T) \\ \implies N_T(t) &= N_{oT}(1 - Ae^{-\gamma_{\parallel}t})\end{aligned}$$

Me queda que $N_T = \text{cte}$ si y sólo si $A=0$, o equivalentemente si $N_T(t=0) = N_{oT} = N_{o1} + N_{o2}$, o equivalentemente $R_1 + R_2 = 0 \iff R_2 = -R_1$.

Análisis de estabilidad lineal: Primer punto fijo

$$DF = \begin{bmatrix} \frac{\partial \dot{\tilde{N}}}{\partial \tilde{N}} & \frac{\partial \dot{\tilde{N}}}{\partial \tilde{I}} \\ \frac{\partial \dot{\tilde{I}}}{\partial \tilde{N}} & \frac{\partial \dot{\tilde{I}}}{\partial \tilde{I}} \end{bmatrix} = \begin{bmatrix} -2\tilde{g}\tilde{I} - 1 & -2\tilde{g}\tilde{N} \\ \tilde{g}\tilde{I} & \tilde{g}(-1/A + \tilde{N}) \end{bmatrix}$$

$$DF|_{N_{pf}^{(1)}, I_{pf}^{(1)}} = DF|_{1,0} = \begin{bmatrix} -1 & -2\tilde{g} \\ 0 & -\tilde{g}/A + \tilde{g} \end{bmatrix}$$

$$\boxed{\lambda_1^{(1)} = -1 \quad \lambda_2^{(1)} = \tilde{g}(1 - 1/A)}$$

Análisis de estabilidad lineal: Segundo punto fijo

$$DF\Big|_{N_{pf}^{(2)}, I_{pf}^{(2)}} = DF\Big|_{\frac{1}{A}, \frac{A-1}{2\tilde{g}}} = \begin{bmatrix} -A & -\frac{2\tilde{g}}{A} \\ \frac{A-1}{2} & 0 \end{bmatrix}$$

$$\lambda_1^{(2)} = -\frac{A}{2} + \sqrt{\left(\frac{A}{2}\right)^2 - \tilde{g}(1 - 1/A)}$$

$$\lambda_2^{(2)} = -\frac{A}{2} - \sqrt{\left(\frac{A}{2}\right)^2 - \tilde{g}(1 - 1/A)}$$

Solución estacionaria

$$\mathcal{F}(z, t) = \mathcal{F}(z)_{st} e^{-i\delta\omega t} \rightarrow \tilde{\Delta} = \tilde{\delta}_{AC} - \delta\omega/\gamma_{\perp}$$

$$\mathcal{P}(z, t) = \mathcal{P}(z)_{st} e^{-i\delta\omega t}$$

$$\mathcal{D}(z, t) = \mathcal{D}(z)_{st}$$

$$\mathcal{P}_{st}(z) = -\mathcal{F}_{st}(z) \frac{1 - i\tilde{\Delta}}{1 + \tilde{\Delta}^2 + |\mathcal{F}_{st}(z)|^2}$$

$$\mathcal{D}_{st}(z) = -\mathcal{F}_{st}(z) \frac{1 + \tilde{\Delta}}{1 + \tilde{\Delta}^2 + |\mathcal{F}_{st}(z)|^2}$$

$$\underline{\text{CC}} : \mathcal{F}_{st}(z=0) = R\mathcal{F}_{st}(z=L)e^{i\delta\omega(\mathcal{L}-L)/c}$$

Coordenadas polares

$$\mathcal{F}_{st}(z) = \rho(z)e^{i\theta(z)} \rightarrow \frac{d\mathcal{F}_{st}}{dz} - \frac{i\delta\omega}{c}\mathcal{F}_{st} = \alpha\mathcal{F}_{st}(z) \frac{1 - i\tilde{\Delta}}{1 + \tilde{\Delta}^2 + |\mathcal{F}_{st}(z)|^2}$$

$$\rho'(z) = \frac{\alpha\rho(z)}{1 + \tilde{\Delta}^2 + |\rho(z)|^2}$$

$$\theta'(z) = -\frac{\alpha\tilde{\Delta}}{1 + \tilde{\Delta}^2 + |\rho(z)|^2} + \frac{\delta\omega}{c}$$

CC : $\rho(z=0) = R\rho(z=L)$

$$\theta_j(z=L) - \theta(z=0) = -\delta\omega(\mathcal{L} - L)/c + 2\pi j$$

Cambio de variables

Nuevas campos:

$$F(z', t') = \mathcal{F}(z', t') e^{z' \ln R/L}$$

$$P(z', t') = \mathcal{P}(z', t') e^{z' \ln R/L}$$

$$D(z', t') = \mathcal{D}(z', t')$$

Nuevas ecuaciones:

$$\frac{\partial F}{\partial t'} + \frac{cL}{\mathcal{L}} \frac{\partial F}{\partial z'} = -k(F + 2CP)$$

$$\frac{\partial P}{\partial t'} = \gamma_{\perp} [FD - (1 + \bar{\delta}_{AC})P]$$

$$\frac{\partial P}{\partial t'} = -\gamma_{\parallel} \left[\frac{1}{2}(F^*P + FP^*) + D + 1 \right]$$

Ecuaciones para las amplitudes modales

$$\dot{f}_n = i\delta\Omega f_n - \kappa(f_n + 2Cp_n)$$

$$\dot{f}_n^* = -i\delta\Omega f_n^* - \kappa(f_n + 2Cp_n^*)$$

$$\dot{p}_n = \gamma_{\perp} \left[\sum_{n'} f_{n'} d_{n-n'} - p_n \left(1 + i \left(\tilde{\delta}_{AC} - \frac{\tilde{\Omega}}{\gamma_{\perp}} - \tilde{\alpha}_n \right) \right) \right]$$

$$\dot{p}_n^* = \gamma_{\perp} \left[\sum_{n'} f_{n'}^* d_{n-n'}^* - p_n^* \left(1 - i \left(\tilde{\delta}_{AC} - \frac{\tilde{\Omega}}{\gamma_{\perp}} - \tilde{\alpha}_n \right) \right) \right]$$

$$\dot{d}_n = i\alpha_n d_n - \gamma_{\parallel} \left[\frac{1}{2} \sum_{n'} (f_{n'}^* p_{n+n'} + f_{n'} p_{n'-n}^*) + d_n + \delta_{n,0} \right]$$

Ecuaciones de movimiento para las amplitudes modales

$$\mathcal{P}_{st}(z) = -\mathcal{F}_{st}(z) \frac{1 - i\tilde{\Delta}}{1 + \tilde{\Delta}^2 + |\mathcal{F}_{st}(z)|^2}$$

$$\mathcal{D}_{st}(z) = -\mathcal{F}_{st}(z) \frac{1 + \tilde{\Delta}}{1 + \tilde{\Delta}^2 + |\mathcal{F}_{st}(z)|^2}$$

$$|\mathcal{F}_{st}^{(j)}|^2 \xrightarrow{R \rightarrow 1^-} [2C - (1 + \tilde{\Delta}_j^2)]$$

$$p_n^{(j)} = -f_n^{(j)} \frac{1 - i\tilde{\Delta}_j}{1 + \tilde{\Delta}_j^2 + |f_n^{(j)}|^2}$$

$$d_n^{(j)} = -\frac{1 + \tilde{\Delta}_j}{1 + \tilde{\Delta}_j^2 + |f_n^{(j)}|^2} \delta_{n,0}$$

$$f_n^{(j)} = [2C - (1 + \tilde{\Delta}_j^2)]^{1/2} \delta_{n,j}$$

Linealización de las ecuaciones de amplitudes modales

$$\chi_n = \chi_n^{(j)} \delta_{n,j} + \delta \chi_n$$

$$d_n = d_n^{(j)} \delta_{n,0} + \delta d_n$$

$$\dot{\delta f}_{j+n} = i\delta\Omega_j \delta f_{j+n} - \kappa(\delta f_{j+n} + 2C\delta p_{j+n})$$

$$\dot{\delta f}_{j-n}^* = -i\delta\Omega_j \delta f_{j-n}^* - \kappa(\delta f_{j-n}^* + 2C\delta p_{j-n}^*)$$

$$\dot{\delta p}_{j+n} = \gamma_{\perp} \left[f_j^{(j)} \delta d_n + \delta f_{j+n} d_0^{(j)} - 1[1 + i(\tilde{\Delta}_j - \tilde{\alpha}_n)] \delta p_{j+n} \right]$$

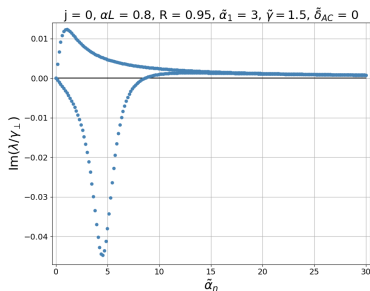
$$\dot{\delta p}_{j-n}^* = \gamma_{\perp} \left[f_j^{(j)*} \delta d_n + \delta f_{j-n} d_0^{(j)} - 1[1 - i(\tilde{\Delta}_j + \tilde{\alpha}_n)] \delta p_{j-n}^* \right]$$

$$\dot{\delta d}_n = i\alpha_n \delta d_n - \gamma_{\parallel} \left[\frac{1}{2} (f_j^{(j)*} \delta p_{j+n} + p_j^{(j)} \delta f_{j-n}^* + f_j^{(j)} \delta p_{j-n}^* + (p_j^{(j)})^* \delta f_{j+n}) + \delta d_n \right]$$

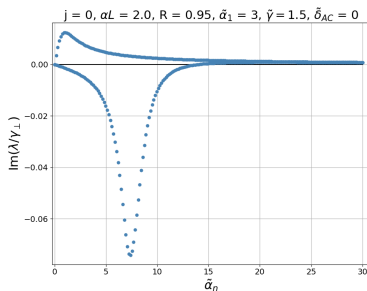
Ansatz

$$\begin{bmatrix} \delta f_{j+n}(t') \\ \delta f_{j-n}^*(t') \\ \delta p_{j+n}(t') \\ \delta p_{j-n}^*(t') \\ \delta d_n(t') \end{bmatrix} = e^{\lambda t'} \begin{bmatrix} \delta f_{j+n}(0) \\ \delta f_{j-n}^*(0) \\ \delta p_{j+n}(0) \\ \delta p_{j-n}^*(0) \\ \delta d_n(0) \end{bmatrix} \rightarrow \begin{bmatrix} \dot{\delta f}_{j+n} \\ \dot{\delta f}_{j-n}^* \\ \dot{\delta p}_{j+n} \\ \dot{\delta p}_{j-n}^* \\ \dot{\delta d}_n \end{bmatrix} = \lambda e^{\lambda t} \begin{bmatrix} \delta f_{j+n}(0) \\ \delta f_{j-n}^*(0) \\ \delta p_{j+n}(0) \\ \delta p_{j-n}^*(0) \\ \delta d_n(0) \end{bmatrix} =$$
$$= \lambda \begin{bmatrix} \delta f_{j+n}(t') \\ \delta f_{j-n}^*(t') \\ \delta p_{j+n}(t') \\ \delta p_{j-n}^*(t') \\ \delta d_n(t') \end{bmatrix} = A \begin{bmatrix} \delta f_{j+n}(t') \\ \delta f_{j-n}^*(t') \\ \delta p_{j+n}(t') \\ \delta p_{j-n}^*(t') \\ \delta d_n(t') \end{bmatrix}$$

Análisis de estabilidad lineal: partes imaginarias



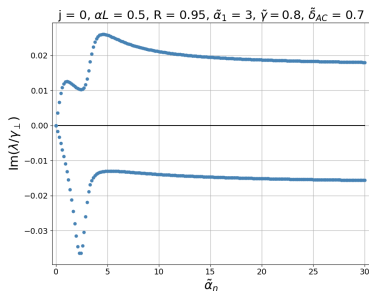
(a) Con $\alpha L = 0.8$



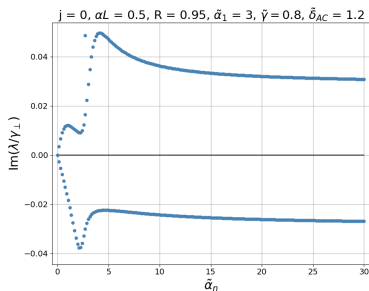
(b) Con $\alpha L = 2$

Figure: $R = 0.95, \tilde{\alpha}_1 = 3, \tilde{\gamma} = 1.5, \tilde{\delta}_{AC} = 0$

Análisis de estabilidad lineal: partes imaginarias



(a) Con $\tilde{\delta}_{AC} = 0.7$



(b) Con $\tilde{\delta}_{AC} = 1.2$

Figure: $\alpha L = 0.5, R = 0.95, \tilde{\alpha}_1 = 3, \tilde{\gamma} = 0.8$